

广义去噪扩散编码模型（gDDCM）：使用预训练的扩散模型对图像进行分词

孔飞（kong13661@outlook.com）

1 相关工作

1.1 去噪扩散模型及其变体

去噪扩散模型（简称为扩散模型）已成为生成图像非常成功的方法。与传统的生成对抗网络（GANs）方法（涉及生成器和判别器）不同，扩散模型通过对从高斯噪声开始的扩散过程的逆过程进行建模来生成样本。与 GANs 相比，扩散模型显示出更优越的训练过程稳定性。

扩散模型有多种变体。如将离散的DDPM扩展到连续的时间分数匹配模型。在分数匹配模型上，又证明相同的边缘分布可以对应不同的加噪方式。这种情况下，又可以从随机微分方程，变为常微分方程。除了分数匹配模型外，在分数匹配的常微分方程上进行蒸馏，能够获得一步采样的一致性模型。除此之外，有些工作提出了流匹配模型。在相同的边缘分布的情况下，加噪和去噪的轨迹又跟分数匹配模型不一样。在流模型上，又有重整流模型，对流匹配模型进行蒸馏。最终获得一步采样的能力。

扩散模型的多种变体主要在于加噪和降噪的轨迹不同。然而他们的边缘分布（在某个时刻 t 的数据的分布）是相似的。通常为 $p(\mathbf{x}_t) = f(\mathbf{x}, t)\mathbf{x}_0 + g(t)\epsilon$ ， $\epsilon \sim \mathcal{N}(0, 1)$ ，其中 \mathbf{x}_0 的分布是数据集分布。

1.1.1 去噪扩散模型（DDPM）

去噪扩散模型[2]通过对从高斯噪声开始的正向扩散过程的逆过程进行建模来生成样本。正向扩散过程可以视为添加噪声的过程，定义如下：

$$\mathbf{x}_t = \sqrt{\alpha_t}\mathbf{x}_{t-1} + \sqrt{\beta_t}\epsilon_t, \epsilon_t \sim \mathcal{N}(0, I). \quad (1)$$

随着 t 增大， β_t 逐渐增大，最终 \mathbf{x}_t 越来越近似于随机高斯噪声。采样的时候，从标准高斯分布中采样一个噪声，然后使用逆向扩散过程进行去噪。记 $\{\mathbf{x}'_t\}$ 为反向扩散过程序列，可以证明 \mathbf{x}'_t 依然服从高斯分布。假设其方差与前向扩散过程相同， \mathbf{x}'_t 的均值定义为：

$$\tilde{\mu}_t = \frac{1}{\sqrt{\alpha_t}} \left(\mathbf{x}_t - \frac{\beta_t}{\sqrt{1-\alpha_t}} \bar{\epsilon}_\theta(\mathbf{x}_t, t) \right),$$

其中 $\bar{\alpha}_t = \prod_{k=0}^t \alpha_k$ 并且 $\bar{\alpha}_t + \bar{\beta}_t = 1$ 。反向扩散过程变为：

$$\mathbf{x}_{t-1} = \tilde{\mu}_t + \sqrt{\beta_t}\epsilon, \epsilon \sim \mathcal{N}(0, I). \quad (2)$$

模型需要学习前向的噪声 $\bar{\epsilon}_t$ 。损失函数定义为：

$$\mathbb{E}_{\mathbf{x}_0, \bar{\epsilon}_t} \left[\left\| \bar{\epsilon}_t - \epsilon_\theta(\sqrt{\alpha_t}\mathbf{x}_0 + \sqrt{1-\alpha_t}\bar{\epsilon}_t, t) \right\|^2 \right].$$

逆向过程可以看做去噪的过程。扩散模型逆向过程需要的步骤较多，例如在CIFAR10上面，需要迭代总步数 $T = 1000$ 。

1.1.2 分数匹配模型

基于分数匹配的模型[3]将离散时间扩散过程转化为连续时间过程，并采用随机微分方程（SDE）来表达扩散过程。此外，在保证边缘分布相同的情况下，前向和反向过程不再局限于扩散过程。

分数匹配模型采用的前向过程定义为：

$$d\mathbf{x} = \left(f_t(\mathbf{x}) - \frac{1}{2}(g_t^2 - \sigma_t^2)\nabla_{\mathbf{x}} \log p_t(\mathbf{x}) \right) dt + \sigma_t d\mathbf{w}. \quad (3)$$

其中 \mathbf{w} 是标准前向维纳过程。相应的反向过程为：

$$d\mathbf{x} = \left(f_t(\mathbf{x}) - \frac{1}{2}(g_t^2 + \sigma_t^2)\nabla_{\mathbf{x}} \log p_t(\mathbf{x}) \right) dt + \sigma_t d\bar{\mathbf{w}}, \quad (4)$$

其中 $\bar{\mathbf{w}}$ 是逆向时间标准维纳过程。当 $\sigma_t \equiv 0$ 时，前向和逆向过程变为常微分方程的形式，

$$d\mathbf{x} = \left(f_t(\mathbf{x}) - \frac{1}{2}g_t^2\nabla_{\mathbf{x}} \log p_t(\mathbf{x}) \right) dt. \quad (5)$$

当 $g_t \equiv \sigma_t$ 时，则分数匹配模型等价于 $T = \infty$ 的扩散模型，此时前向过程为：

$$d\mathbf{x} = f_t(\mathbf{x})dt + \sigma_t d\mathbf{w}. \quad (6)$$

在常微分方程的情况下，可以方便的使用对应的求解器。通过训练模型对 $\nabla_{\mathbf{x}} \log p_t(\mathbf{x})$ 进行估计，可最终用来生成样本。可以证明，模型的损失函数跟扩散模型相似。

1.1.3 一致性模型

与 GANs 相比，扩散模型的采样时间消耗更长。为了减少采样次数，一致性模型被提出来。如果一个函数在轨迹上的每个点输出都相同，则该函数被称为一致性函数。形式化地说，给定一条轨迹 $\{\mathbf{x}_t\}$ 其中 $t \in [0, T]$ ，该函数满足 $f(\mathbf{x}_{t_1}) = E[f(\mathbf{x}_{t_2})]$ 。如果该轨迹不是概率轨迹，则上述公式中的期望符号可以去掉，也即 $f(\mathbf{x}_{t_1}) = f(\mathbf{x}_{t_2})$ 。一致性扩散模型

(CDM), 其证明了当前向扩散过程满足 $dx_t = g(t)dw_t$ 时, $h(x, t) = \nabla \log q_t(x)g^2(t) + x$ 是一个一致性函数。他们在训练过程中额外添加了一致性正则化以提高模型的采样效率。一致性模型 (CM) [5], 与一致性扩散模型不同, 一致性模型利用确定性采样, 通过学习从轨迹上的任意点 x_t 到起点 x_0 的映射, 来获得一步采样的模型。当训练一个扩散模型来获取轨迹 x_t 时, 该方法称为一致性蒸馏。当使用条件轨迹来近似非条件轨迹时, 该方法称为一致性训练。

1.1.4 流匹配模型

从公式(3)可以得出结论, 分数匹配模型的路径与边缘分布的梯度 $\nabla_x \log p_t(x)$ 有关。与分数匹配模型不同, 流匹配模型[4]放松了这个限制。通过保留相同的边缘分布, 流匹配模型提出了新的加噪和降噪路径。流匹配模型核心思想是学习两个概率分布之间由速度场描述的流动匹配关系。形式化地, 给定数据分布 $x \sim p_{data}(x)$ 和另一分布 (通常为容易采样的噪音分布) $\epsilon \sim p(\epsilon)$, 可以构建随时间 t 变化的条件流路径 $z_t = \alpha_t x + \beta_t \epsilon$ 。在使用流匹配模型的时候, 通常会选择 $\epsilon \sim \mathcal{N}(0, 1)$, $\alpha_t = 1 - t$ 以及 $\beta_t = t$ 。

条件速度被定义为 $v(z_t, t|x) = \frac{d\alpha_t}{dt}x + \frac{d\beta_t}{dt}\epsilon$ 。边缘速度 (非条件速度) 被定义为 $v(z_t, t) = \mathbb{E}_{x \sim p_{data}(x)}[v(z_t, t|x)]$ 。给出边缘速度, 可以通过常微分方程定义非条件流路径 $dz_t = v(z_t, t)dt$ 。可以证明, 可以通过损失函数

$$\mathbb{E}_{t, x, \epsilon} \|v_\theta(z_t, t) - v(z_t, t|x)\|^2. \quad (7)$$

训练模型, 估计对应的 $v(z_t, t)$ 。这个损失函数和扩散模型是相似的。由于 ϵ 选择的任意性, 重整流模型通过训练好的流匹配模型生成数据计算条件分布。此时由于 x 与 ϵ 的对应关系, 相比于完全随机更加线性, 此时边缘速度也更接近线性。此时重新训练的模型就可以使用更少的采样生成样本。这称为重整流模型。

1.2 去噪扩散编码模型 (DDCM)

最近DDCM[1]提出使用去噪扩散模型对图像进行压缩或分词 (tokenizing), 将连续的图像转换为离散的标记 (token)。具体而言, 他们首先通过从 $\mathcal{N}(0, 1)$ 中采样 K 个样本构成 \mathcal{E}_i , 其中每个去噪的采样时间 t 对应一个 i 。他们的实验展示了将公式(2)中的噪音 ϵ 转换为从 \mathcal{E}_i 采样, 仍然能够生成高质量的图像。在这个基础上, 他们提出在挑选噪音 ϵ 的时候, 使用 $\operatorname{argmax}_{\epsilon \in \mathcal{E}_i} (x_0 - \hat{x}_{0|x}) \cdot \epsilon$ 近似 $g_t^2 \nabla_x \log p_i(x_0|x_i)$ 。

他们提出的方法适用于扩散模型以及分数匹配模型 (公式(4))在 $g_t \equiv \sigma_t$ 时的情况。他们证明, 在这种情况下, 若有:

$$\|\epsilon - g_t^2 \nabla_x \log p_i(x_0|x_i)\| = 0,$$

则他们的方法等价于采样的时候使用:

$$x_{i-1} = x_i - f_i(x) + g_t^2 \nabla_x \log p_i(x_i|x_0)$$

进行采样。

2 方法

2.1 去噪扩散编码模型

去噪扩散编码模型只能应用去噪扩散模型上, 同时效率也不够高。我们在去噪扩散编码模型的基础上, 提出了新的方法 (广义去噪扩散编码模型), 能够应用到主流的扩散模型以及其变体上, 同时提高了效率。

2.2 所提方法

2.2.1 广义去噪扩散编码模型 (gDDCM)

如在1.2中所述, DDCM只适用于去噪扩散模型的情况。应用在扩散模型的一些变体上, 主要有两个问题。对于类似于分数匹配模型来说, $g_t \equiv \sigma_t$ 不再成立。而对于流匹配模型来说, 其逆向过程通常为常微分方程, 而不再是随机微分方程。这意味着我们没有一个可以添加噪音 ϵ 的项。而直接对公式(7)的 $v_\theta(z_t, t)$ 进行离散化效果极差。为了将DDCM扩展到主流的扩散模型的变体上, 首先观察他们的共性。可以发现章节1.1中的模型, 虽然加噪和去噪的路径不同, 但是他们的边缘分布是相似的, 都可以用同一个公式表示:

$$x_t = s(t)x_0 + \Sigma(t)\epsilon. \quad (8)$$

其中 $\Sigma(t) = s(t)\sigma(t)$ 。注意, 虽然在公式(3)中 $f_t(x)$ 并未限制其为 $f(t)x_0$ 的形式, 但是实际中几乎总会选择为 $f(t)x_0$ 的形式。故本文中讨论的形式为公式(8)是合理的。

观察分数匹配模型的逆向公式(4), 假设此时有 $\sigma_t = \sqrt{k}g_t$, 我们对它进行简单的数值求解的时候, 有:

$$\begin{aligned} -\Delta x_t &= \left(f_t(x) - \frac{1+k}{2} g_t^2 \nabla_x \log p_t(x) \right) (-\Delta t) + \sqrt{k} g_t \sqrt{\Delta t} \epsilon \\ &= \left(f_t(x) - \frac{1}{2} g_t^2 \nabla_x \log p_t(x) \right) [-(1+k)\Delta t] \\ &\quad + k f_t(x) \Delta t + g_t \sqrt{k \Delta t} \epsilon \\ &\approx \left(f_t(x) - \frac{1}{2} g_t^2 \nabla_x \log p_t(x) \right) [-(1+k)\Delta t] \\ &\quad + f_{t-(1+k)\Delta t}(x_{t-(1+k)\Delta t}) (k\Delta t) + g_{t-(1+k)\Delta t} \sqrt{k \Delta t} \epsilon, \end{aligned}$$

其中 $\epsilon \sim \mathcal{N}(0,1)$ 。因此，当 $\sigma_t = \sqrt{k}g_t$ 时，一个逆向过程约等于首先使用常微分方程形式(5)求解出 $\mathbf{x}_{t-(1+k)\Delta t}$ ，然后使用公式(6)进行一次 $\mathbf{x}_{t-(1+k)\Delta t} \rightarrow \mathbf{x}_{t-\Delta t}$ 的前向加噪过程。令 $\Delta t \rightarrow \Delta t/(1+k)$ ，令 $p = 1/(1+k)$ ，则上面过程成为 $\mathbf{x}_t \rightarrow \mathbf{x}_{t-\Delta t} \rightarrow \mathbf{x}_{t-p\Delta t}$ 。在这个过程中，边缘分布 $p_t(\mathbf{x})$ 始终不变。当 $p = 1/2$ 时，上述过程变为连续时间扩散模型。受此启发，我们认为对于分数匹配模型以及一致性模型，也可以使用相似的过程，添加一项 ϵ 对样本进行编码。然而对于流匹配模型来说，其并没有类似公式(6)，能够将 $\mathbf{x}_{t-\Delta t} \rightarrow \mathbf{x}_{t-p\Delta t}$ 进行转换的前向公式，我们在2.2.4节中介绍一个统一的形式——也就是公式(21)——解决这个问题。至此，我们将上面的采样方式扩展到了扩散模型的几种变体之上。现在我们可以自然地 DDCM 扩展到扩散模型的变体上。只需要将 $\mathbf{x}_{t-\Delta t} \rightarrow \mathbf{x}_{t-p\Delta t}$ 前向过程中添加的噪音 ϵ 进行离散化即可。

注意到上述过程中有一个参数 p 。可以证明，当 $p = 0.5$ 的时候，在分数匹配模型上，就等于连续版本的 DDCM 。为了能够应用一个前向过程，应该有 $p \in (0,1)$ 。然而我们发现 $p = 0$ 也可以对图像进行分词，并且相比于 p 取其他值的时候有一些优势。当 $p \neq 1$ 的时候，需要的参数还包括采样过程的时间间隔。这增加了参数的空间。除此之外，重建质量不止与添加的噪音有关，跟逆向采样过程也有关。换句话说，如果某个采样过程，在添加随机噪音的情况下，生成的随机样本质量较低，那么在这个采样过程上应用 DDCM ，效果也较差。他们之间耦合，导致难以优化。

当 $p = 1$ 时，一次完整的迭代之后样本分布仍然固定在 t 时刻。因此需要跟正常采样过程结合使用。当进行多次正逆向采样（也就是多次 $\mathbf{x}_t \rightarrow \mathbf{x}_{t-\Delta t} \rightarrow \mathbf{x}_t$ 的过程）之后，执行正常的常微分方程的逆向采样过程（如公式(5)）生成样本。实验中发现，除了重整流模型外，时刻 t 需要选择较小时刻。这是符合直觉的。因为 t 当较大的时候，噪音也较大，难以保留足够信息生成目标图像。而当 t 较小的时候，由于此时分布 p_t 与 p_{data} 相似，此时有条件分布约等于边缘分布。也即 $\nabla_{\mathbf{x}_t} \log p_t(\mathbf{x}_t) \approx \nabla_{\mathbf{x}_t} \log p_t(\mathbf{x}_t|\mathbf{x}_0)$ 。而对于流匹配模型，则有 $\mathbf{v}(\mathbf{x}_t, t) \approx \mathbf{v}(\mathbf{x}_t, t|\mathbf{x}_0)$ 。图 1 为相应的样本，可以看出此时模型的输出几乎能够生成原本的 \mathbf{x}_0 ，也即图 2。而对于重整流模型来说，由于多次蒸馏，对于 t 较大的情况下，也有 $\mathbf{v}(\mathbf{x}_t, t) \approx \mathbf{v}(\mathbf{x}_t, t|\mathbf{x}_0)$ 。这也是重整流模型的最优时刻 t 较大的

原因。



图 1 此图片展示了添加噪音较小的时候的样本，可以看出保留了原图片的大部分信息，模型可以几乎无损的重构原图。因此有 $\nabla_{\mathbf{x}_t} \log p_t(\mathbf{x}_t) \approx \nabla_{\mathbf{x}_t} \log p_t(\mathbf{x}_t|\mathbf{x}_0)$ 以及 $(\mathbf{x}_t, t) \approx \mathbf{v}(\mathbf{x}_t, t|\mathbf{x}_0)$ 。



图 2 此图片展示的是图 1 所示样本的重构图像，可以看出几乎能够重构原始图片。

注意到应用正逆向采样的时候，需要给出每一次迭代的 Δt 。为了能够提高效率，直觉上 Δt 应该从大到小。我们将 Δt 分成个 P 个区间，第 k 个区间的长度 $\Delta t(k, \Delta t_{\min}, \Delta t_{\max})$ 为公式(9)：

$$\Delta t(k, \Delta t_{\min}, \Delta t_{\max}) = \Delta t_{\min}^{k/P} \Delta t_{\max}^{(P-k)/P}, \quad (9)$$

记总迭代次数 N 第 k 个区间的迭代次数 $r(k, \sigma_{\max})$ 为公式(10)：

$$r(k, \sigma_{\max}) = \left\lfloor \frac{(1 + k/P(\sigma_{\max}^{1/\rho} - 1))^\rho}{\sum_i (1 + i/P(\sigma_{\max}^{1/\rho} - 1))^\rho} N + 0.5 \right\rfloor. \quad (10)$$

当模型为去噪扩散模型的时候，形式稍有不同。由于其时间步骤是离散的，因此当我们的方法应用到去噪扩散模型的时候，使用下面的公式：

对于正向过程公式(1)，我们使用 DDIM 的逆向过程。给出一个时间序列 $\sigma_{\tau_{i-1}} < \sigma_{\tau_i} < \sigma_{\tau_{i+1}}$ ：

$$\mathbf{x}_{\tau_{i-1}} = \frac{\bar{\alpha}_{\tau_{i-1}}}{\bar{\alpha}_{\tau_i}} \left(\mathbf{x}_{\tau_i} - \left(\bar{\beta}_{\tau_i} - \frac{\bar{\alpha}_{\tau_i}}{\bar{\alpha}_{\tau_{i-1}}} \sqrt{\bar{\beta}_{\tau_{i-1}}^2 - \bar{\sigma}_{\tau_i}^2} \right) \epsilon_\theta \right) + \bar{\sigma}_{\tau_i} \epsilon, \quad (11)$$

其中， $\bar{\sigma}_{\tau_i}$ 有：

$$\bar{\sigma}_{\tau_i} = p \frac{\bar{\beta}_{\tau_{i-1}}}{2\bar{\beta}_{\tau_i}} \sqrt{1 - \left(\frac{\bar{\alpha}_{\tau_i}}{\bar{\alpha}_{\tau_{i-1}}} \right)^2}$$

同样的，当 $p = 0.5$ 时，上述模型变为 DDCM 。当 $p = 0$ 时，公式(9)转换为离散形式对于某个时间步长 $\Delta t_{\min} \in N$ ，令 $\Delta t_{\max} = \Delta t_{\min} + P$ ，有：

$$\Delta t(k) = \Delta t_{\min} + k = \Delta t_{\min}^{m_k/P} \Delta t_{\max}^{(P-m_k)/P}, \quad (12)$$

从公式(12)解出 m_k 之后, 带入公式(10)的离散形式得到公式:

$$r(k) = \left\lfloor \frac{(1 + m_k/P(\sigma_{\max}^{1/\rho} - 1))^\rho}{\sum_i (1 + m_i/P(\sigma_{\max}^{1/\rho} - 1))^\rho} N + 0.5 \right\rfloor. \quad (13)$$

算法中的参数通过在验证集上进行搜索得到。由于参数较少, 且我们在实验中发现只需要少量样本就可以搜索到较优的参数, 搜索的代价并不大。

2.2.2 如何选择噪音

结合公式(8), 我们现在推导出如何选择噪音 ϵ 。假设对样本 \mathbf{x}'_0 进行分词, 现在有某个起始点 $\mathbf{x}_t = s(t)\mathbf{x}_0 + \Sigma(t)\epsilon$, 我们希望得到样本 \mathbf{x}'_0 。应用一次 $\mathbf{x}_t \rightarrow \mathbf{x}_{t-\Delta t} \rightarrow \mathbf{x}_{t-p\Delta t}$ 的过程。不失一般性, 假设 $p = 0$ 。由于时刻 t 较小的时候, 条件分布约等于边缘分布, 所以我们直接令 $\mathbf{x}_{t-p\Delta t} = s(t)\mathbf{x}_0 + \Sigma(t - \Delta t)\epsilon + \Sigma(t)\sqrt{\Delta t}\epsilon'$ 。我们希望添加的 ϵ' 能够最大化的影响 \mathbf{x}_0 , 因此我们选择 $\mathbf{x}'_t = s(t)\mathbf{x}'_0 + \Sigma(t)\epsilon$ 。令 $\mathbf{x}'_t = \mathbf{x}_{t-p\Delta t}$, 可以得到:

$$\epsilon' = (s(t)(\mathbf{x}'_0 - \mathbf{x}_0) + (\Sigma(t) - \Sigma(t - \Delta t))\epsilon) / (\Sigma(t)\sqrt{\Delta t})$$

现在我们希望从码表中选择一个 $\epsilon_c \in \mathcal{E}_i$ 使得 $\arg \min_{\epsilon_c} \|\epsilon_c - \epsilon'\|^2$ 。我们有:

$$\|\epsilon_c - \epsilon'\|^2 = \|\epsilon_c - (\Sigma(t) - \Sigma(t - \Delta t))\epsilon / (\Sigma(t)\sqrt{\Delta t})\|^2 + \|s(t)(\mathbf{x}'_0 - \mathbf{x}_0)\|^2 - 2\epsilon_c s(t)(\mathbf{x}'_0 - \mathbf{x}_0) + [2(\Sigma(t) - \Sigma(t - \Delta t)) / (\Sigma(t)\sqrt{\Delta t})] \epsilon s(t)(\mathbf{x}'_0 - \mathbf{x}_0)$$

其中, $\epsilon s(t)(\mathbf{x}'_0 - \mathbf{x}_0)$ 和 $\|s(t)(\mathbf{x}'_0 - \mathbf{x}_0)\|^2$ 与 ϵ_c 无关, 因此可以忽略。而 $\|\epsilon_c - (\Sigma(t) - \Sigma(t - \Delta t))\epsilon / (\Sigma(t)\sqrt{\Delta t})\|^2$ 这一项, 由于 ϵ_c 和 ϵ 不相关, 所以可以认为这一项为固定值。因此有:

$$\arg \min_{\epsilon_c \in \mathcal{E}_i} \|\epsilon_c - \epsilon'\|^2 = \arg \max_{\epsilon_c \in \mathcal{E}_i} \epsilon_c (\mathbf{x}'_0 - \mathbf{x}_0). \quad (14)$$

我们通过另一个角度给出了DDCM挑选噪音的方式, 并且推导过程暗示: 当 $p \neq 1$, 也即添加噪音的过程需要经历逆向采样的完整过程的时候, 可能在条件分布远不等于边缘分布得时候造成浪费。图3展示了这种情况。



图3 本图展示了DDCM的过程, 可以发现算法在噪音较大的时刻执行多次。而此时包含信息较少, 可能造成浪费。

注意到, 码表在构建的时候, 需要每一个时刻都需要一个新的码表集合。然而这并不意味着码表

会占用很大空间。由于码表在构建的时候是通过伪随机算法构建的, 因此只需要知道码表的索引和随机数种子, 就可以重新构建码表。因此这种方式并不会造成码表占用大量空间。且重构码表的运算量相比于模型推理几乎可以忽略不计。

2.2.3 初始点的选择

我们的方法不再从逆向过程的开头进行迭代。因此在对应时刻, 是不能够简单的进行采样的。我们尝试了下面的策略:

1. 随机噪音。
2. 选择一个任意的 \mathbf{x}_0 , 然后添加噪音。
3. 选择跟重构样本 \mathbf{x}_0' 最接近的噪音作为初始点。

2.2.4 统一形式

对于上面提到的几种扩散模型的变体, 其训练目标是不同的, 然而都能够表示为噪音项 $\epsilon \sim \mathcal{N}(0,1)$ 和样本 $\mathbf{x} \sim p_{\text{data}}$ 的线性组合。在 2.2.2 节中, 需要模型输出预测的 \mathbf{x}'_0 。对于某个时刻 t , 模型输出 \mathbf{o}_t , 训练目标是 $\mathbb{E}\|\mathbf{o}_t - (h_t\mathbf{x}_0 + w_t\epsilon)\|^2$, 当 t 较小时候, 近似有:

$$\mathbf{o}_t = h_t\mathbf{x}_0 + w_t\epsilon, \quad (15)$$

公式(15)联立公式(8)即可求得预测的 \mathbf{x}'_0 以及 ϵ' , 且求得的 \mathbf{x}'_0 等于损失函数为 $\mathbb{E}\|\mathbf{o}_t - \mathbf{x}_0\|^2$ 的预测值。类似的, ϵ' 则等于损失函数为 $\mathbb{E}\|\mathbf{o}_t - \epsilon\|^2$ 的预测值。

对于流匹配模型来说, 由于没有显式的正向过程, 我们使用另一种方式来构建 $\mathbf{x}_t \rightarrow \mathbf{x}_{t-\Delta t} \rightarrow \mathbf{x}_{t-p\Delta t}$ 的过程。对于分数匹配模型(5)来说, 已有的结果有:

$$\nabla_{\mathbf{x}} \log p_t(\mathbf{x}_t) = -(\mathbf{x}_t - s(t)\mathbf{x}'_0) / \Sigma(t)^2, \quad (16)$$

其中 $\Sigma(t) = s(t)\sigma(t)$ 。如上文所述, 我们只讨论 $f_t(\mathbf{x})$ 是线性函数的情况, 令 $f_t(\mathbf{x}) = f_t\mathbf{x}$ 。则可以通过公式(17)获得对应时刻的样本:

$$\mathbf{x}_{t-\Delta t} = s(t - \Delta t)\mathbf{x}'_0 + \Sigma(t - \Delta t)\epsilon'. \quad (17)$$

定理1 公式(17)在 $\mathcal{O}(\Delta t^2)$ 误差内, 等价于使用欧拉公式对公式(5)进行一次迭代。

证明 为了方便书写, 忽略二阶以上的高阶项, 证明如下:

公式(5)使用欧拉法, 有:

$$\mathbf{x}_{t-\Delta t} = \mathbf{x}_t - \left(f_t\mathbf{x}_t - \frac{1}{2}g_t^2\nabla_{\mathbf{x}} \log p_t(\mathbf{x}) \right) \Delta t$$

将公式(16)解出 \mathbf{x}_t 带入上式整理可以得到:

$$\mathbf{x}_{t-\Delta t} = (s(t) - s(t)f_t\Delta t)\mathbf{x}'_0 + \nabla_{\mathbf{x}} \log p_t(\mathbf{x}) \frac{1}{2}g_t^2\Delta t - \nabla_{\mathbf{x}} \log p_t(\mathbf{x}) \left((s(t)\sigma(t))^2 - (s(t)\sigma(t))^2\Delta t \right) \quad (18)$$

根据分数匹配模型迭代的关系有 $s(t - \Delta t) = s(t) - s(t)f_t\Delta t + \mathcal{O}(\Delta t^2)$, 忽略高阶项, 可得:

$$(s(t) - s(t)f_t\Delta t)\mathbf{x}'_0 = s(t - \Delta t)\mathbf{x}'_0$$

以及:

$$(s(t)\sigma(t))^2 - (s(t)\sigma(t - \Delta t))^2 \Delta t = s(t)s(t - \Delta t)\sigma(t)^2$$

带入公式(18)可得:

$$\begin{aligned} \mathbf{x}_{t-\Delta t} &= s(t - \Delta t)\mathbf{x}'_0 - \nabla_{\mathbf{x}} \log p_t(\mathbf{x}) \times \\ & s(t)s(t - \Delta t) \left(\sigma(t)^2 - \frac{g(t)^2}{s(t)s(t - \Delta t)} \frac{\Delta t}{2} \right) \end{aligned} \quad (19)$$

对于任意连续可导函数有 $s(t - \Delta t)s(t + \Delta t) = s(t)^2 + \mathcal{O}(\Delta t^2)$, 令 $t + (1/2)\Delta t$ 代替 t 则有:

$$s(t)s(t - \Delta t) = s(t + (1/2)\Delta t)^2$$

在分数匹配模型中有:

$$\sigma(t - \Delta t)^2 = \sigma(t)^2 - g(t)^2/s(t)^2 \Delta t + \mathcal{O}(\Delta t^2)$$

带入到公式(19)中, 则有:

$$\begin{aligned} \sigma(t)^2 - \frac{g(t)^2}{s(t)s(t - \Delta t)} \frac{\Delta t}{2} &= \sigma \left(t + \frac{\Delta t}{2} \right)^2 \\ &= \sigma(t)\sigma(t - \Delta t) \end{aligned} \quad (20)$$

再将公式(16)以及公式(20)带入到公式(19), 则可得公式(17), 证明结束。

对于流匹配模型的线性形式也有相似的结论。而当模型是一致性模型的时候, 因为 $\mathbf{x}'_0 \sim p_{\text{data}}$, 公式(17)变成了从 $p_t(\mathbf{x}_t | \mathbf{x}'_0)$ 中采样, 因此也是合法的。

基于此, 当构建 $\mathbf{x}_t \rightarrow \mathbf{x}_{t-\Delta t} \rightarrow \mathbf{x}_{t-p\Delta t}$ 时, 使用的公式为:

$$\begin{aligned} \mathbf{x}_{t-p\Delta t} &= s(t - p\Delta t)\mathbf{x}'_0 + \Sigma(t - \Delta t)\boldsymbol{\epsilon}' + \\ & \sqrt{\Sigma(t - p\Delta t)^2 - \Sigma(t - \Delta t)^2}\boldsymbol{\epsilon}_c, \end{aligned} \quad (21)$$

其中, $\boldsymbol{\epsilon}_c$ 是从公式(14)得来。这种形式解决了在2.2.1中, 没有扩展到流匹配模型上面的问题。

至此, 除了离散形式的去噪扩散模型需要使用离散形式公式(11)外, 其他所有连续形式的变体都可以应用公式(21)执行对图像的分词。

算法 1: 广义去噪扩散模型 (gDDCM, $p \neq 0$)

输入: 边缘分布的参数 $s(t)$ 和 $\sigma(t)$; 目标分词样本 \mathbf{x}_0 ; 训练好的, 经过变换能够输出 \mathbf{x}'_0 和 $\boldsymbol{\epsilon}'$ 的扩散模型 $\theta(\mathbf{x}_t, t)$; 总分词数量 N ; 重构开始最大时间噪音时间 T_r (可以跟模型训练时候的最大时间 T 不同), 结束时间 T_t ; 时间调度 $w(k, T_r, T_t)$, 输出为某一步的步长; 初始化函数 $I(\mathbf{x}_0, T)$ 。

输出: 噪音序列 $L_{\boldsymbol{\epsilon}_c}$, 重构样本 \mathbf{x}_r 。

- 1: $t = T_r, \mathbf{x}_t = I(\mathbf{x}_0, T_r)$
 - 2: **for** k **in** $\text{range}(N)$:
 - 3: $\Delta t = w(k, T_r, T_t)/p$
 - 4: 应用公式(14)获得 $\boldsymbol{\epsilon}_c$ 以及对应索引 i
-

- 5: 应用公式(21)获得 $\mathbf{x}_{t-p\Delta t}$
 - 6: $t \leftarrow t - p\Delta t$
 - 7: $L_{\boldsymbol{\epsilon}_c}.\text{append}(i)$
 - 8: $\mathbf{x}_r = \mathbf{x}_t$
 - 9: **return** $L_{\boldsymbol{\epsilon}_c}, \mathbf{x}_r$
-

算法 2: 广义去噪扩散模型 (gDDCM, $p = 0$)

输入: 边缘分布的参数 $s(t)$ 和 $\sigma(t)$; 目标分词样本 \mathbf{x}_0 ; 训练好的, 经过变换能够输出 \mathbf{x}'_0 和 $\boldsymbol{\epsilon}'$ 的扩散模型 $\theta(\mathbf{x}_t, t)$; 总分词数量 N ; 分词时间 T_s ; 时间调度 $w(k)$, 输出为某一步的步长; 初始化函数 $I(\mathbf{x}_0, T_s)$; 正常采样函数 $\text{sample}(\mathbf{x}_t, t)$; 最大最小步长 $\Delta t_{\min}, \Delta t_{\max}$; 参数 σ_{\max} ; 不同步长区间 P 的数量。

输出: 噪音序列 $L_{\boldsymbol{\epsilon}_c}$ 。

- 1: $t = T_s, \mathbf{x}_t = I(\mathbf{x}_0, T_s)$
 - 2: **for** k **in** $\text{range}(P)$:
 - 3: $\Delta t = \Delta t(k, \Delta t_{\min}, \Delta t_{\max})$, 公式(9)
 - 4: **for** $_$ **in** $\text{range}(r(k, \sigma_{\max}))$:
 - 5: 应用公式(21)获得 $\mathbf{x}_{t-p\Delta t}$
 - 6: 应用公式(14)获得 $\boldsymbol{\epsilon}_c$ 以及对应索引 i
 - 7: $t \leftarrow t - p\Delta t$
 - 8: $L_{\boldsymbol{\epsilon}_c}.\text{append}(i)$
 - 9: $\mathbf{x}_r = \text{sample}(\mathbf{x}_t, t)$
 - 10: **return** $L_{\boldsymbol{\epsilon}_c}, \mathbf{x}_r$
-

3 实验

3.1 测试模型和数据集

我们测试了在1.1节提到的四个主流的扩散模型及其变体。他们是去噪扩散模型、分数匹配模型、一致性模型和重整流模型。其中, 对于重整流模型来说, 其需要进行多次蒸馏。每次蒸馏都会让模型的采样路径更加的线性, 但也更加远离扩散模型的采样路径。我们选择了蒸馏次数为3的重整流模型, 以此显示我们方法的有效性。对于一致性模型, 我们选择了多个经过一致性训练和一致性蒸馏的模型。对于LSUN Bedroom数据集来说, 由于重整流模型没有提供多次蒸馏模型, 因此我们使用未蒸馏模型。

我们在CIFAR10数据集上对我们的方法进行了测试。CIFAR10的图像分辨率为 32×32 。为了防止数据泄露 (data leaking), 我们选择了CIFAR10测试集中的10000张图片进行测试。选择参数的时候,

我们选择128张图片，作为验证集，搜索LIPIS距离最小的一组参数。我们还在LSUN Bedroom数据集上面测试了我们的方法。此数据集的分辨率为 256×256 。由于此数据集没有测试集，我们选择此数据集的验证集的样本测试我们方法的有效性。验证集一共包含300张图像，我们选择其中20张，用来选择参数。

据我们所知，除了DDCM方法之外，目前还没有其他方法使用预训练的扩散模型对图像进行分词。我们将DDCM作为对比的基线方法——也就是我们方法在 $p = 0.5$ 时候，在DDPM上的特例。除了DDPM之外，虽然DDCM不能够扩展到其他的方法，但是我们仍然将 $p = 0.5$ 的结果进行展示。

3.2 度量指标

实验中，为了检测我们方法的有效性，我们使用了FID指标，LPIPS距离，以及IS和SSIM四个度量进行测试。FID, LPIPS以及IS都是从语义上度量方法的有效性。由于LSUN Bedroom数据集过小，使用FID和IS会造成结果失真，因此我们只使用LPIPS和SSIM作为度量指标。

3.3 实验结果

表 1展示了我们的方法和基线方法在CIFAR10上面的结果，我们取分词数量 $N = 300$ 。基线方法使用斜体表示。可以发现， $p = 0$ 在所有的数据集和所有的模型上面都取得了最好的结果。同时还可以发现，我们的方法确实扩展了DDCM，使得其能够在文中提到的所有的模型上面，都能够对图像做有效分词。

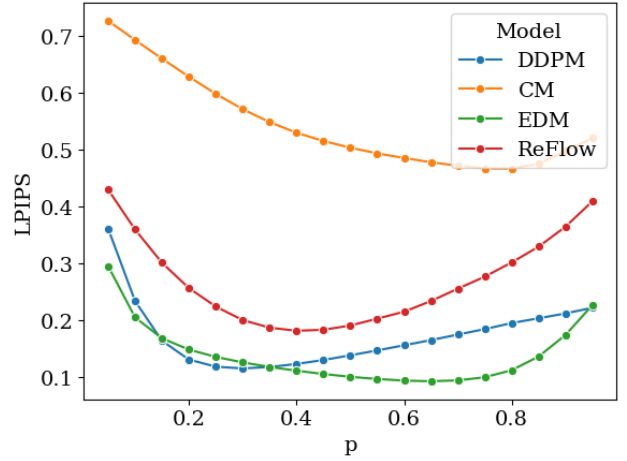
表 1 gDDCM 在 CIFAR10 上面的表现。对于 Consistency Model, 在 $p = 0.5$ 时并没有成功重构样本, 使用 \times 表示。而在 p 列里面, \times 代表原始 DDCM 不能够应用在对应该扩散模型上, \checkmark 则代表可以应用。当应用在 DDPM 模型上, 且 $p = 0.5$ 的时候, gDDCM 等价于基线方法 DDCM, 对应结果使用斜体表示。最好结果和第二好结果分别用粗体和下划线表示。

模型	p	FID↓	LPIPS↓	IS↑	SSIM↑
DDPM	0	\checkmark 5.6	0.100	9.95	0.95
	0.5	\checkmark 7.7	<i>0.138</i>	<i>9.67</i>	<i>0.93</i>
EDM	0	\checkmark 3.2	<u>0.060</u>	<u>10.5</u>	0.98
	0.5	\times 4.5	0.099	10.3	0.95
CM	0	\checkmark <u>4.3</u>	0.078	10.9	<u>0.96</u>
	0.5	\times \times	\times	\times	\times
ReFlow	0	\checkmark <u>4.3</u>	0.049	10.1	0.98
	0.5	\times 21	0.190	8.80	0.84

3.4 消融实验

3.4.1 p 取值对结果的影响

在本节中，我们对几个参数进行消融实验。在实验中，我们发现验证集选择128张的结果，基本与整个测试集的结果一致。因此在本节中，我们使用128张图像对各个参数的影响进行探索。在测试我们方法的时候，我们选择重整流模型，然后进行其它参数搜索。获得最好的表现。除了在测试 p 的时候，我们选择 $p \neq 0$ 。其他时候我们都令 $p = 0$ 。



4 结论

在本文中，我们分析了去噪扩散编码模型存在的一些问题。比如会浪费降噪步骤，无法扩展到除了DDPM之外的扩散模型上。针对这些问题，我们提出了广义去噪扩散编码模型（gDDCM）对图像进行分词。通过对分数匹配模型采样过程的分析，我们提出使用 $\mathbf{x}_t \rightarrow \mathbf{x}_{t-\Delta t} \rightarrow \mathbf{x}_{t-p\Delta t}$ 的分词策略。第一步 $\mathbf{x}_t \rightarrow \mathbf{x}_{t-\Delta t}$ 使用常微分方程形式，让模型生成对应样本，然后在 $\mathbf{x}_{t-\Delta t} \rightarrow \mathbf{x}_{t-p\Delta t}$ 这一步添加与样本和预测值最相近的噪音，拉近跟样本之间的距离。我们特别分析了 $p = 0$ 是算法的表现，针对这种情况的补偿选择策略特别进行了优化。我们提出的方法将去噪扩散编码模型（DDCM）扩展到主流的扩散模型及其变体上，并且提出了新的分词策略。结果显示我们的方法优于去噪扩散编码模型。

参 考 文 献

- [1] Ohayon G, Manor H, Michaeli T, et al. Compressed Image Generation with Denoising Diffusion Codebook Models[J]. arXiv preprint arXiv:2502.01189, 2025.
- [2] Ho J, Jain A, Abbeel P. Denoising diffusion probabilistic models[J]. Advances in neural information processing systems, 2020, 33: 6840-6851.
- [3] Song Y, Sohl-Dickstein J, Kingma D P, et al. Score-based generative modeling through stochastic differential equations[J]. arXiv preprint arXiv:2011.13456, 2020.
- [4] Liu X, Gong C, Liu Q. Flow straight and fast: Learning to generate and transfer data with rectified flow[J]. arXiv preprint arXiv:2209.03003, 2022.
- [5] Song Y, Dhariwal P, Chen M, et al. Consistency models[J]. 2023.